

О РАДИОФИЗИЧЕСКИХ МЕТОДАХ ИЗМЕРЕНИЯ МАССЫ ПОКОЯ ФОТОНА¹⁾

М.Е.Герценштейн, Л.Г.Соловей

Недавно И.Ю.Кобзарев и Л.Б.Окунь [1], а также Л.С.Марочник [2] рассмотрели вопрос об экспериментальной верхней границе для массы покоя фотона m_γ . Из данных ракетных измерений статического магнитного поля Земли [3] следует лучшая экспериментальная оценка $\lambda = \frac{\hbar}{m_\gamma c} > 0,89 \cdot 10^5 \text{ км}$, что соответствует частоте $\Omega = c/\lambda < 3,4 \text{ сек}^{-1}$, $m_\gamma < 4 \cdot 10^{-48} \text{ г}$.

В настоящей работе будет показано, что радиофизические методы могут дать значительно лучшую оценку λ . Уравнения электродинамики при наличии массы покоя будут:

$$F^{ik} - \Lambda^2 A^i = -\frac{4\pi}{c} j^i, \quad F_{ik} = A_{k,1} - A_{i,k}; \quad A^i = (\phi, \mathbf{A})$$

$$F^{ik} = (-\mathbf{E}, \mathbf{H}); \quad \Lambda = 1/\lambda = m_\gamma c / \hbar. \quad (1)$$

Обозначения — согласно [4], "жонглирование" пространственными индексами связано с переменной знака. При $\Lambda \neq 0$ из уравнения непрерывности $j^i_{,i} = 0$ следует добавочное условие на потенциалы $A^i_{,i} = 0$ [5], которое приводит к волновому уравнению для вектора A^i :

$$A^i_{,i} = 0, \quad F^i_{,k} = -A^i_{,k} = \square A^i; \quad \square = \Delta - \frac{1}{c^2} \frac{\partial^2}{\partial t^2}. \quad (2)$$

Ищем решение (2) в виде плоских волн $e^{-i k_l x^l}$, и рассматриваем только продольную ветвь, определяемую условием:

$$k^\alpha \parallel A^\alpha(\mathbf{k}); \quad (\square - \Lambda^2) A^i = 0. \quad (3)$$

Рассмотрим несобое решение:

$$k^\alpha \neq 0, \quad A^\alpha(\mathbf{k}) \neq 0. \quad (4)$$

¹⁾ Доложено вне программы на GR-5.

Используя соотношение $A'_j = 0$, имеем

$$A^a_{(k)} = (k^0 k^a / k^2) A^0(k), \quad E = i \Lambda^2 A^0(k) (k/k^2) = i \Lambda (\Lambda^2 / k^0), \quad H = 0. \quad (5)$$

Электрическое поле пропорционально Λ^2 и очень мало. Малость электрического поля приводит к тому, что при распространении волн в проводящей среде мал вызываемый волной ток и мал затухание:

$$(\square - \Lambda^2)A = -\frac{4\pi\sigma}{c^2}E = -\frac{4\pi}{c}\Lambda^2 \frac{i\sigma}{k_0}A, \quad k^0 = \omega/c,$$

$$k = \frac{\omega}{c} \sqrt{1 - \Lambda^2 \left[\frac{1}{k_0^2} - \frac{4\pi\sigma}{k^0 3c} \right]}; \quad \text{Im}k \approx \frac{2\pi\sigma}{c} \left(\frac{\Omega}{\omega} \right)^2. \quad (6)$$

Кроме волн, существует еще решение – аналог плазменных колебаний:

$$A^0 = 0, \quad A \neq 0, \quad \frac{\partial A}{\partial t} = 0, \quad E = i\omega A \sim e^{-i\Lambda c t} \quad (7)$$

и статические решения. При радиофизическом эксперименте обычно пользуются монохроматическими колебаниями частоты f , $\omega = 2\pi f \gg \Omega$ и поэтому статические решения и решение выражений (7) нас не интересуют.

Известно, что поперечные электромагнитные волны не проходят через металлические экраны, и их затухание в экранах может быть точно рассчитано [6]. Прохождение продольных волн через металлические экраны и может быть использовано для измерения массы покоя фотона. Рассмотрим теперь процесс взаимодействия контуров продольными волнами. Если эксперимент ставится в ближней зоне, то он может быть полностью описан с помощью Лагранжиана взаимодействия, который равен

$$L = -\frac{1}{c} \int A_i j^{i*} dv + \text{компл. сопр.} = +\frac{1}{c} \int A j^* dv - \int \rho^* \phi dv. \quad (8)$$

Потенциал A удовлетворяет уравнению

$$\Delta A + k_1^2 A = -\frac{4\pi}{c} j; \quad k_1 = \sqrt{\left(\frac{\omega}{c}\right)^2 - \Lambda^2} \quad (9)$$

$$A = -\frac{1}{k_1^2} (\Delta A + \frac{4\pi}{c} j) = -\frac{1}{k_1^2} \{ \text{grad div} A + \frac{4\pi}{c} j - \text{rot rot} A \}. \quad (9)$$

Вихревое слагаемое в уравнениях (9) при наличии металлических экранов должно быть опущено. Интегрируя первое слагаемое в уравне-

нии (8) по частям и опуская поверхностный интеграл, имеем

$$L = \frac{1}{ck_1^2} \left(\text{div} j^* \text{div} A dv - \int \rho^* \phi dv - \frac{4\pi}{c^2 k_1^2} \int j j^* dv + \right. \\ \left. + \text{к.с.} = L_{\text{взаим}} + L_{\text{сам.}} \right. \\ L_{\text{взаим}} = \int \left\{ \frac{1}{c^2 k_1^2} \frac{\partial \rho^*}{\partial t} \frac{\partial \phi}{\partial t} - \rho^* \phi \right\} dv + \text{к.с.} = \\ = \frac{\Lambda^2}{k_1^2} \int (\rho^* \phi + \rho \phi^*) dv. \quad (10)$$

При этом мы опустили член самовоздействия

$$L_{\text{сам}} = \frac{4\pi}{c^2} \int j j^* dv, \quad (11)$$

который не важен при рассмотрении взаимодействия двух контуров.

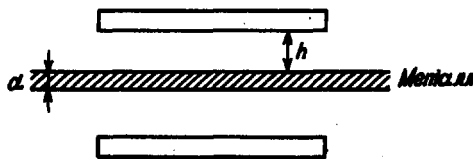


Рис. 1

Таким образом, лагранжиан взаимодействия пропорционален электростатической энергии зарядов, взаимодействующих в вакууме, без металлических экранов. Поэтому при составлении эквивалентной схемы необходимо найти матрицу взаимной емкости C_{jk} и взять ее с множителем

$$\left(\frac{\Lambda}{k_1} \right)^2 \approx \left(\frac{\Lambda}{k^0} \right)^2, \quad L_{\text{взаим}} = \left(\frac{\Lambda}{k^0} \right)^2 \sum C_{jk} U_j U_k, \quad (12)$$

где U_j – напряжения на контурах. Рассмотрим два контура, емкости которых имеют обкладки на различных сторонах тонкого металлического экрана (рис. 1). Для емкости связи получаем:

$$C_{\text{св}} = (\Omega/\omega)^2 C_{\text{геом}} = (\Omega/\omega)^2 (S/4\pi d), \quad h \gg d; \\ (C_{\text{св}}/C_{01} C_{02}) \approx (\Omega/\omega)^4 (h/d)^2, \quad (13)$$

где S – площадь обкладок. Эквивалентная схема показана на рис. 2, для напряжения на втором контуре имеем при резонансе:

$$U_2 = i(\omega C_{CB} g_2) U_1 = i \Omega^2 / \omega^2 (\omega C_{\text{Геом}} g_2) U_1 . \quad (14)$$

Поэтому возможно, применяя синхронное детектирование с сигналом генератора, измерить в отдельности $\text{Re} \Lambda^2$ и $\text{Im} \Lambda^2$. При слабой связи и отсутствии других емкостей в контурах имеем для переходного затухания:

$$P_2 / P_1 = (\omega C_{CB})^2 / g_1 g_2 = (\Omega / \omega)^4 (C_{\text{Геом}}^2 / C_{01} C_{02}) Q_1 Q_2, \quad (15)$$

где Q – добротность. Мощность P_2 может быть индифферентна, если она превышает уровень шумов $P_{\text{ш}} = k T_{\text{ш}} \beta$, $\beta = 1/2r$ – полоса при синхронном детектировании, r – время наблюдения. Оценим чувствительность метода:

$$(\Omega / \omega)_{\text{min}} = \sqrt[4]{\frac{k T_{\text{ш}}}{2 r P_1}} (\theta_1 \theta_2)^{-1/4} \left(\frac{C_{\text{Геом}}^2}{C_{01} C_{02}} \right)^{-1/4}. \quad (16)$$

Примем следующие значения:

$$T_{\text{ш}} = 300^\circ \text{K}, \quad r = 10^6 \text{ сек (10 суток)}, \quad P_1 = 40 \text{ см.}$$

$$Q_1 = 100, \quad Q_2 = 100, \quad (C_{\text{Геом}}^2 / C_{01} C_{02}) = 10.$$

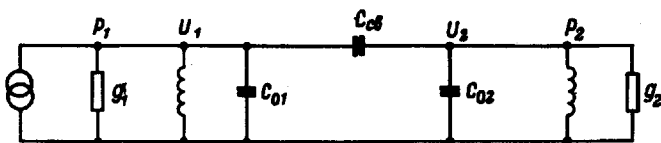


Рис. 2

Что дает: $(\Omega / \omega)_{\text{min}} = 0,48 \cdot 10^{-8}$. Если измерения ведутся на частоте 100 кГц ($f = 10^5 \text{ Гц}$), то

$$\Omega < 3,0 \cdot 10^{-3} \text{ 1/сек}^{-1}, \quad m_y < 3,5 \cdot 10^{-51} \text{ т},$$

что примерно на три порядка лучше, чем в [3]. Принятые нами значения не являются предельными. Уменьшение рабочей частоты связано с значительными техническими трудностями.

Авторы выражают свою глубокую признательность акад. В.Л.Гинзбургу, проф. Я.А.Смородинскому и д-ру физ.-мат. наук Д.А.Киржницу за интерес к рассматриваемому вопросу и ценные замечания.

Всесоюзный
научно-исследовательский институт
физико-технических
и радиотехнических измерений

Поступило в редакцию
18 ноября 1968 г.

Литература

- [1] И.Ю.Кобзарев, Л.Б.Окунь. УФН, 95, 131, 1968.
- [2] Л.С.Марочник. Астрономический журнал, 45, № 1, 213, 1968.
- [3] A. S. Goldhaber, M. M. Nieto. Phys. Rev. Lett., 21, 567, 1968.
- [4] Л.Д.Ландау, Е.М.Лифшиц. Теория поля. М., Изд. Наука, 1967, изд. V.
- [5] Д.Д.Иваненко, А.А.Соколов. Классическая теория поля. Гостехиздат, 1949.
- [6] Дж. А.Стрэттон. Теория электромагнетизма. ОГИЗ, 1948.